

Fig. 1

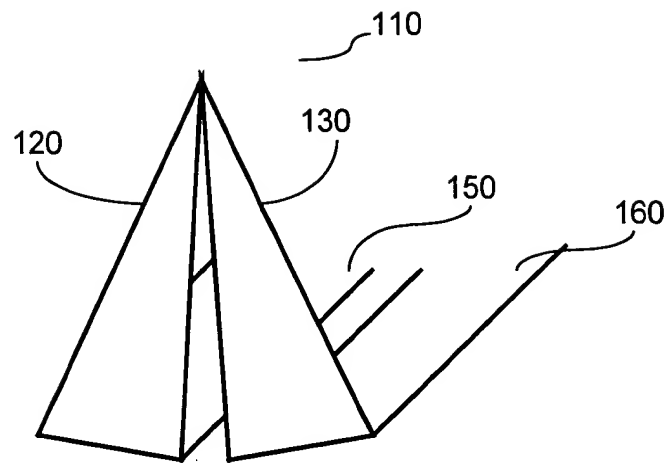


Fig. 2

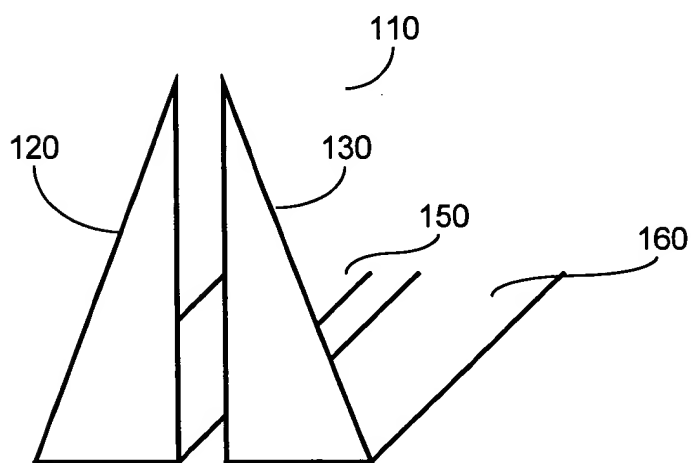


Fig. 3

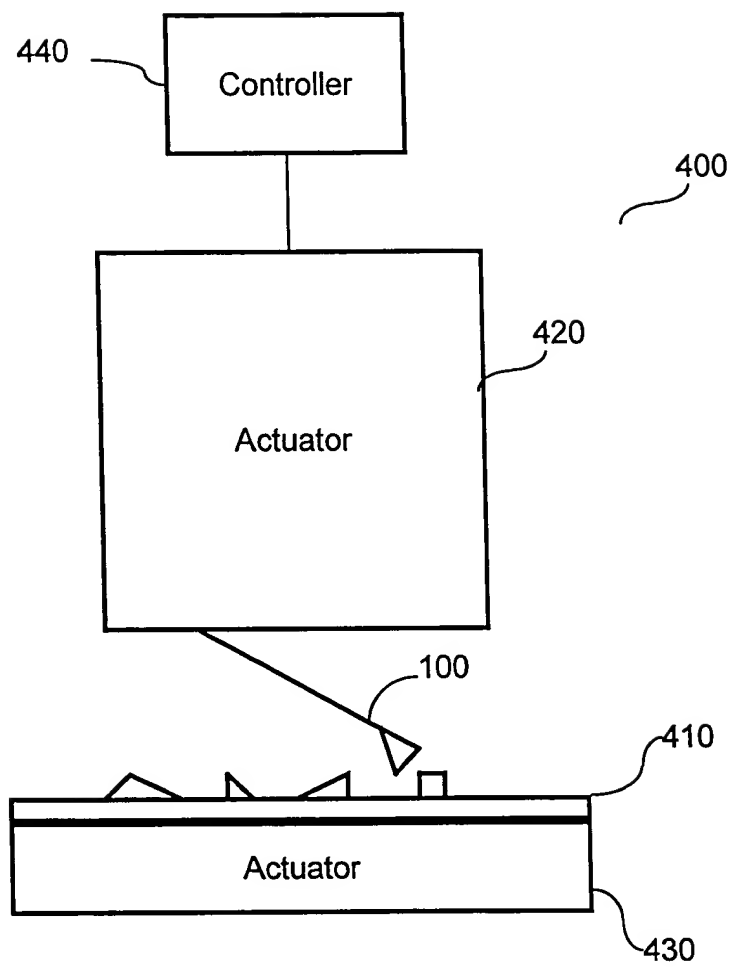
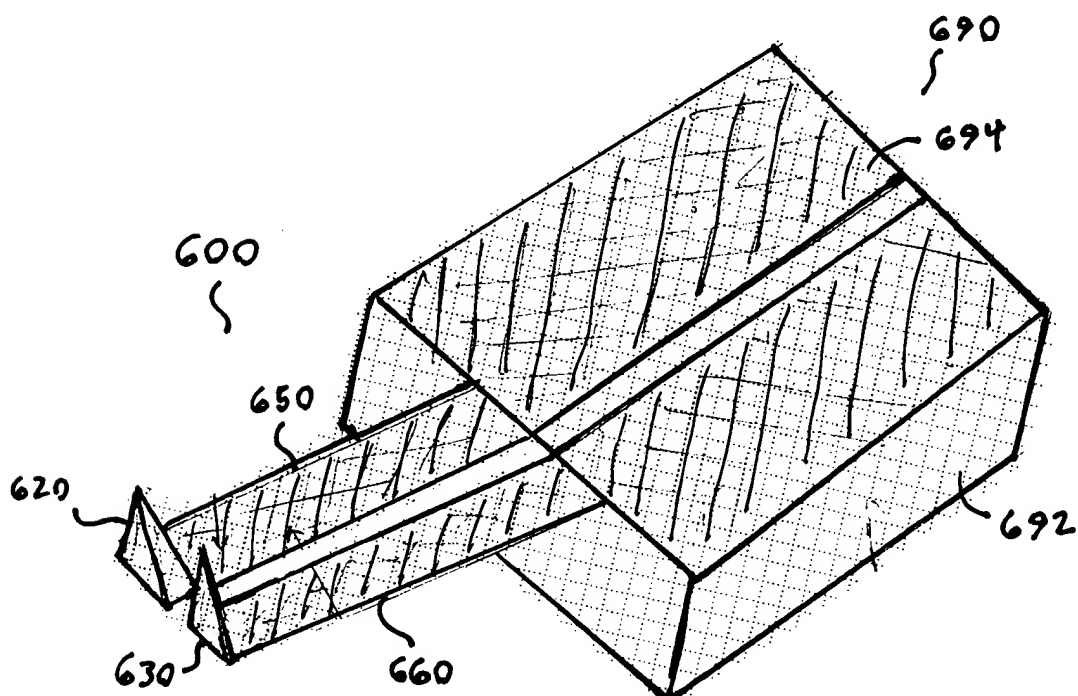
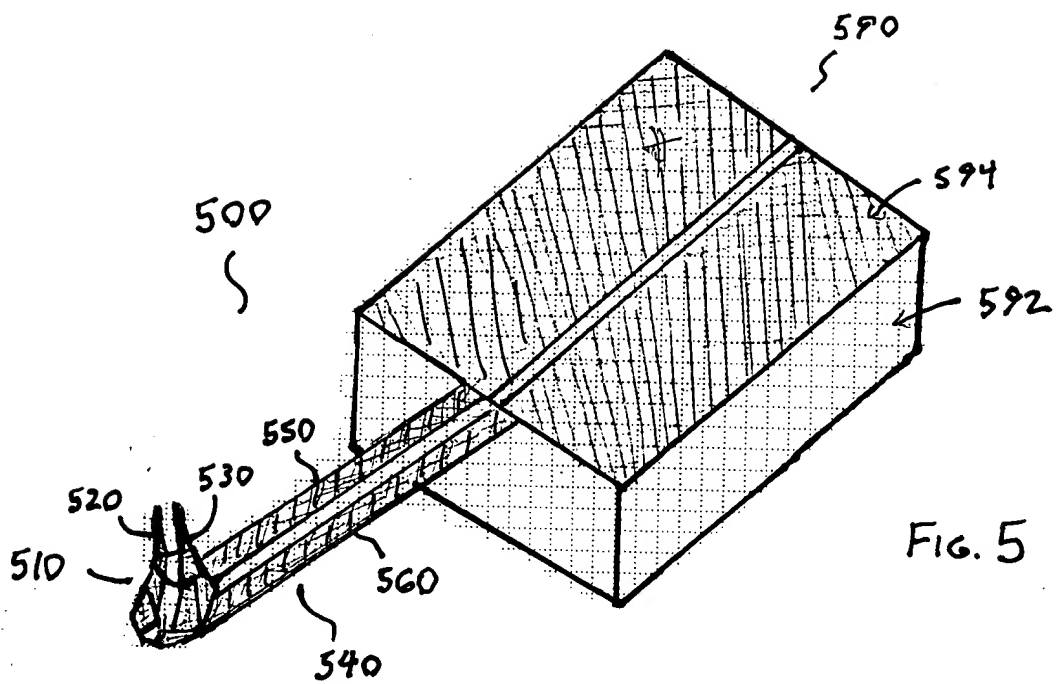


Fig. 4



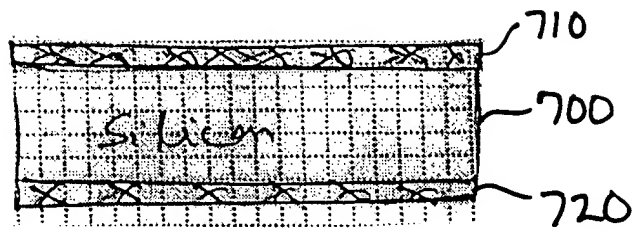


Fig. 7

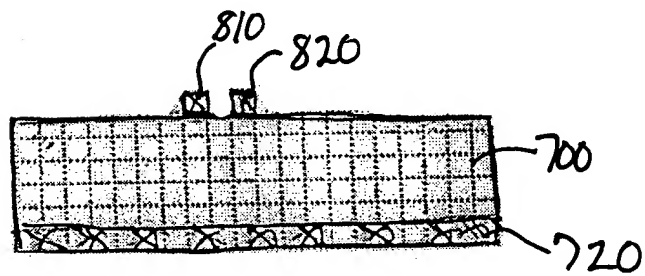


Fig. 8

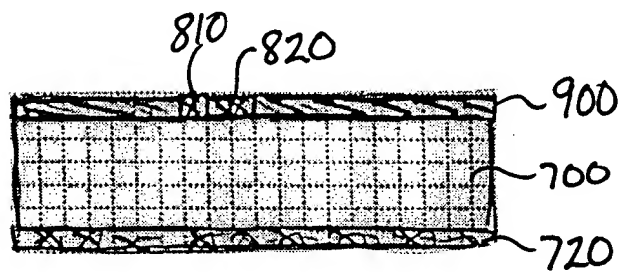


Fig. 9

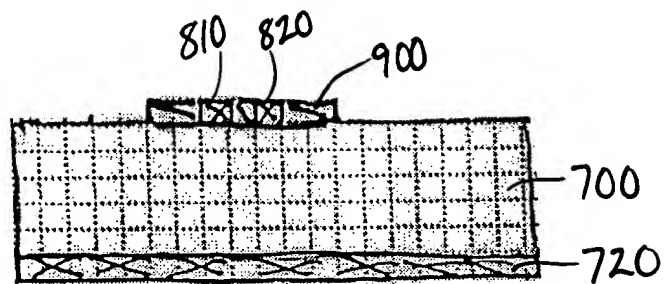


Fig. 10

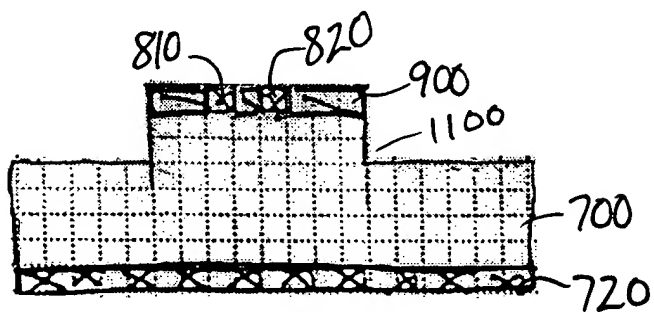


Fig. 11

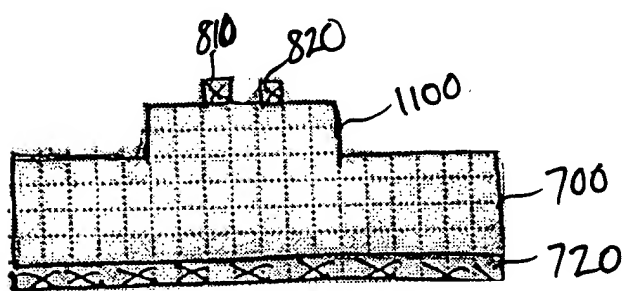


Fig. 12

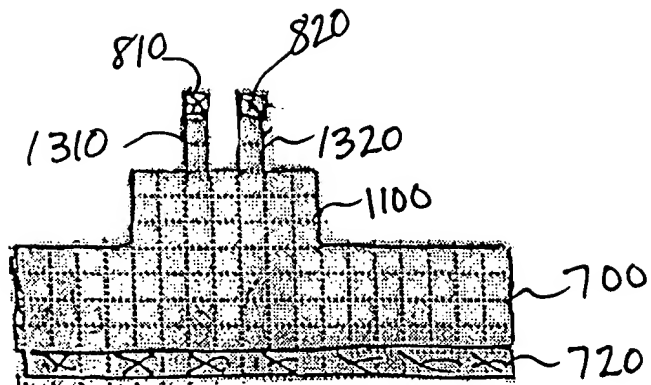


Fig. 13

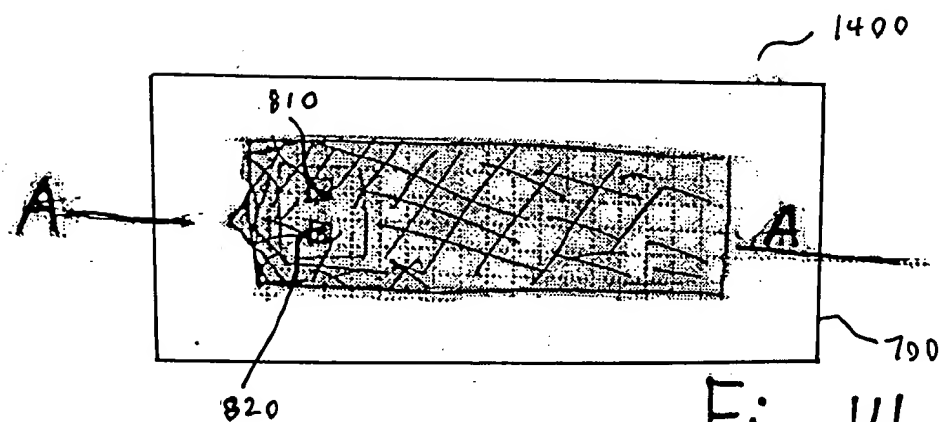


Fig. 14

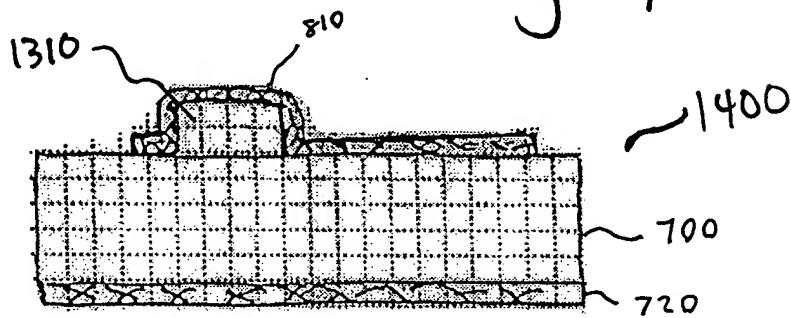


Fig. 15

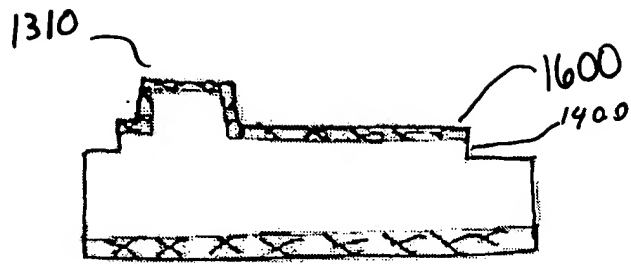


Fig. 16

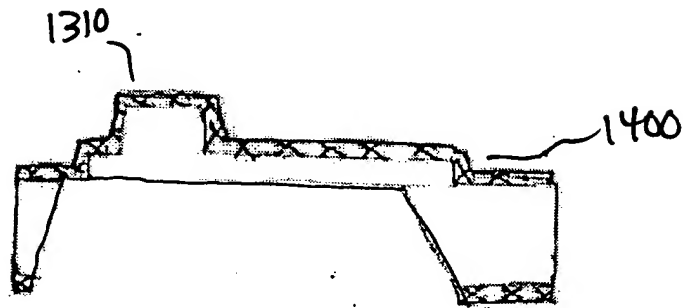


Fig. 17

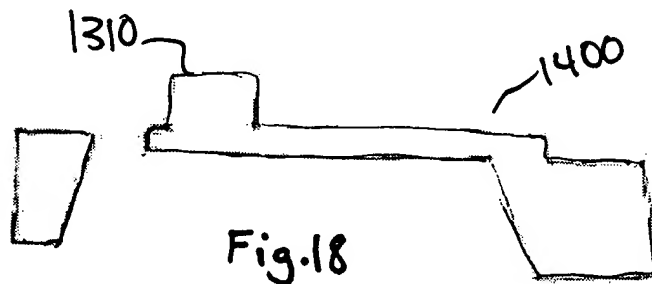


Fig. 18

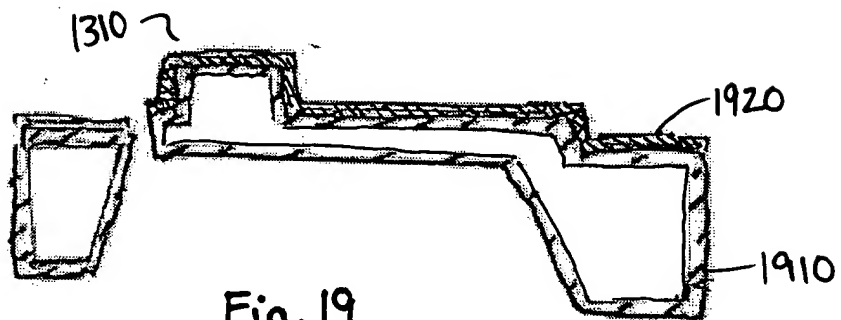


Fig. 19

Patented Dec 10, 2008

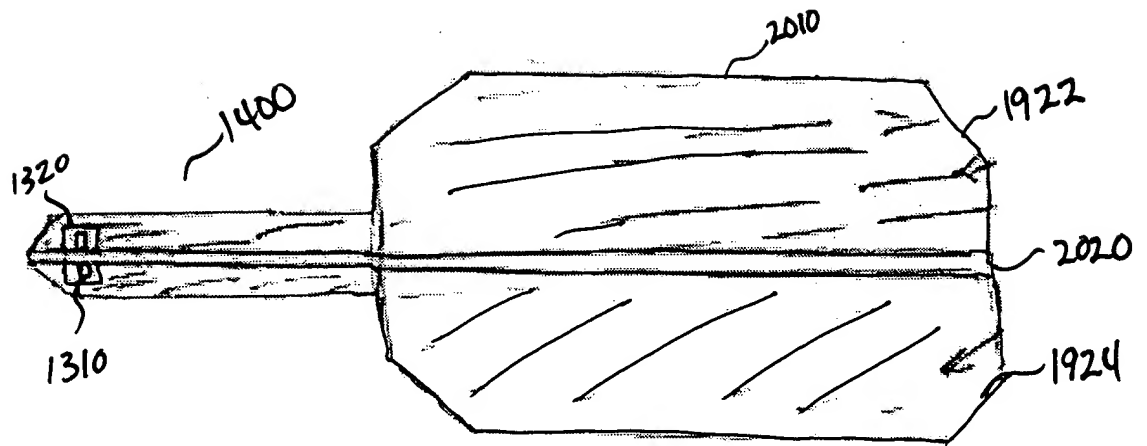
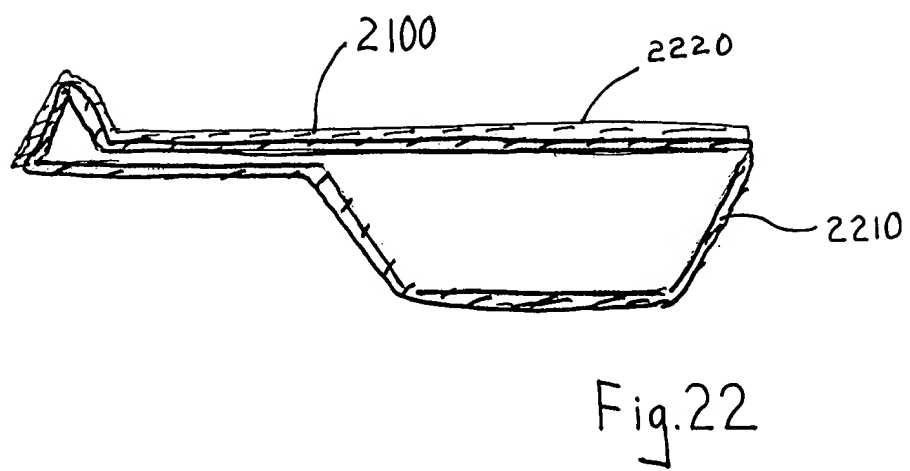
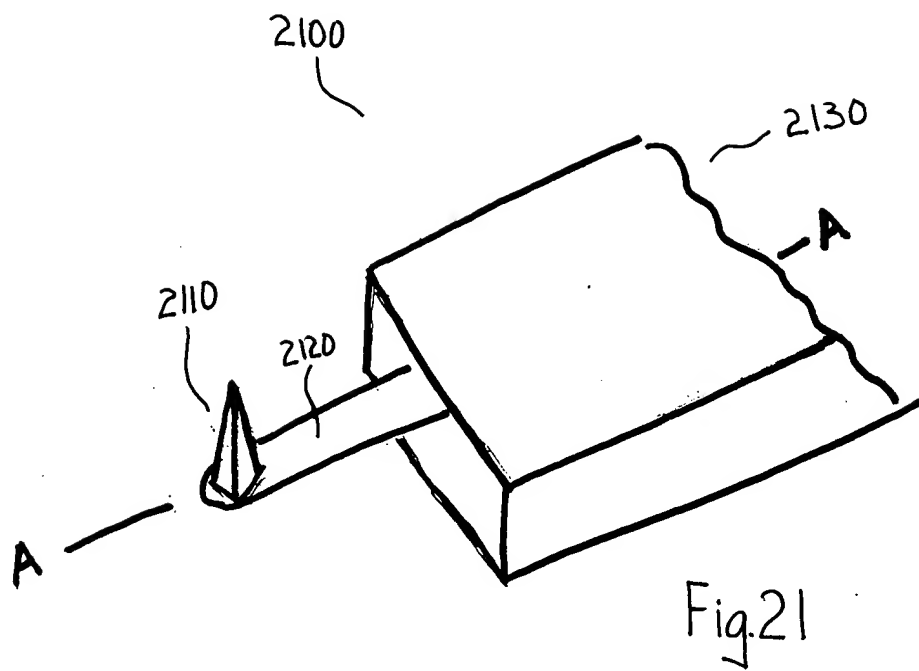


Fig. 20



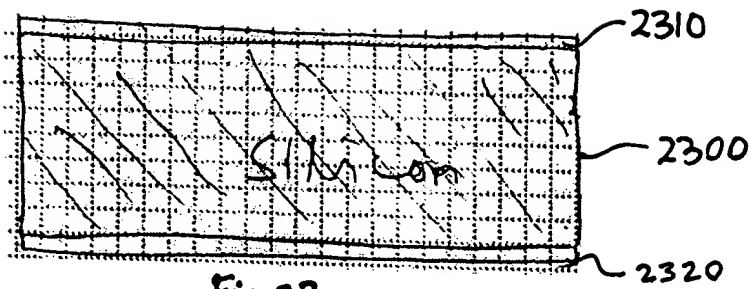


Fig. 23

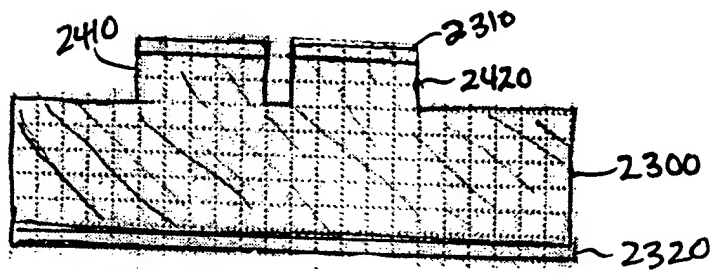


Fig. 24

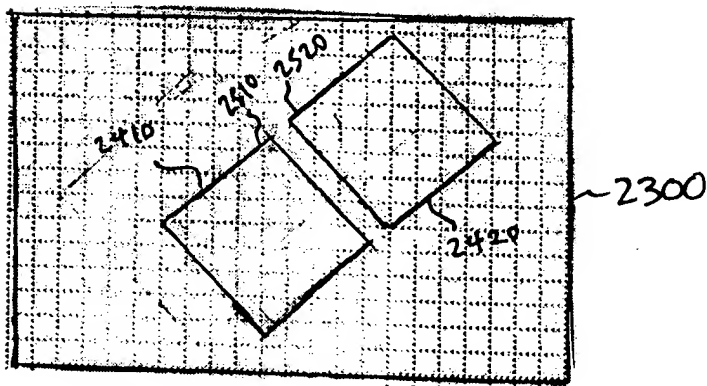


Fig. 25

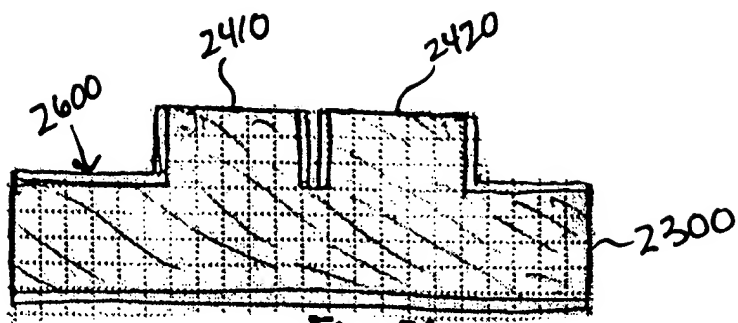


Fig. 26

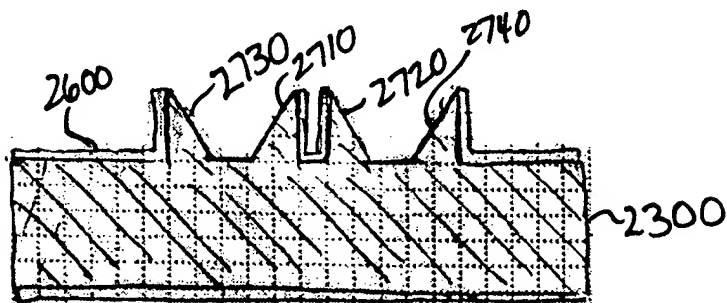


Fig. 27

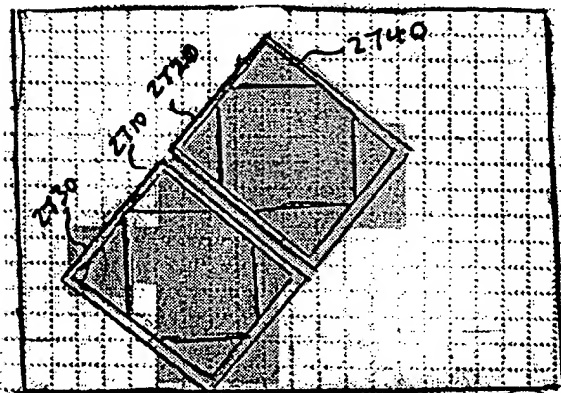


Fig. 28

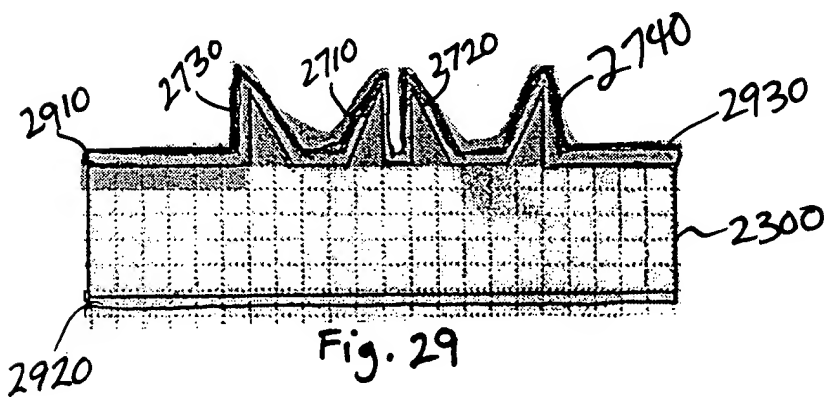


Fig. 29

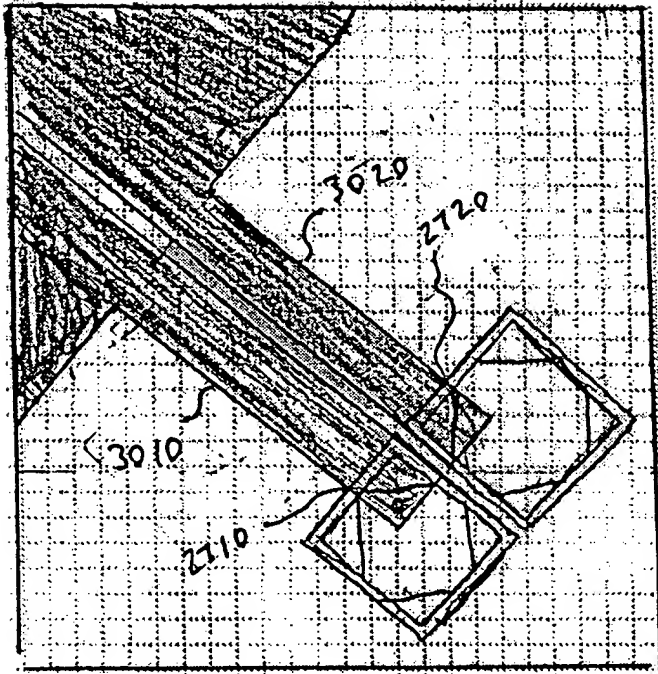


Fig. 30

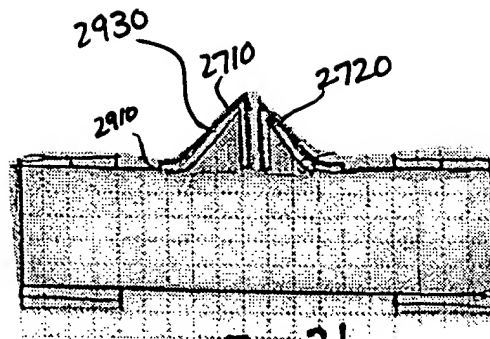


Fig. 31

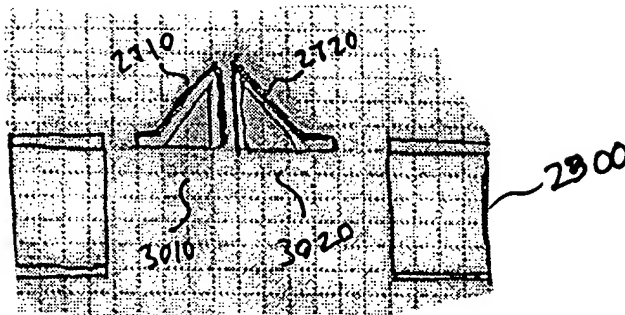


Fig. 32

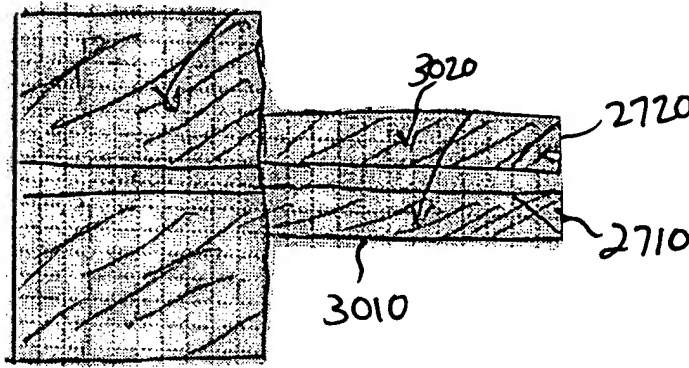
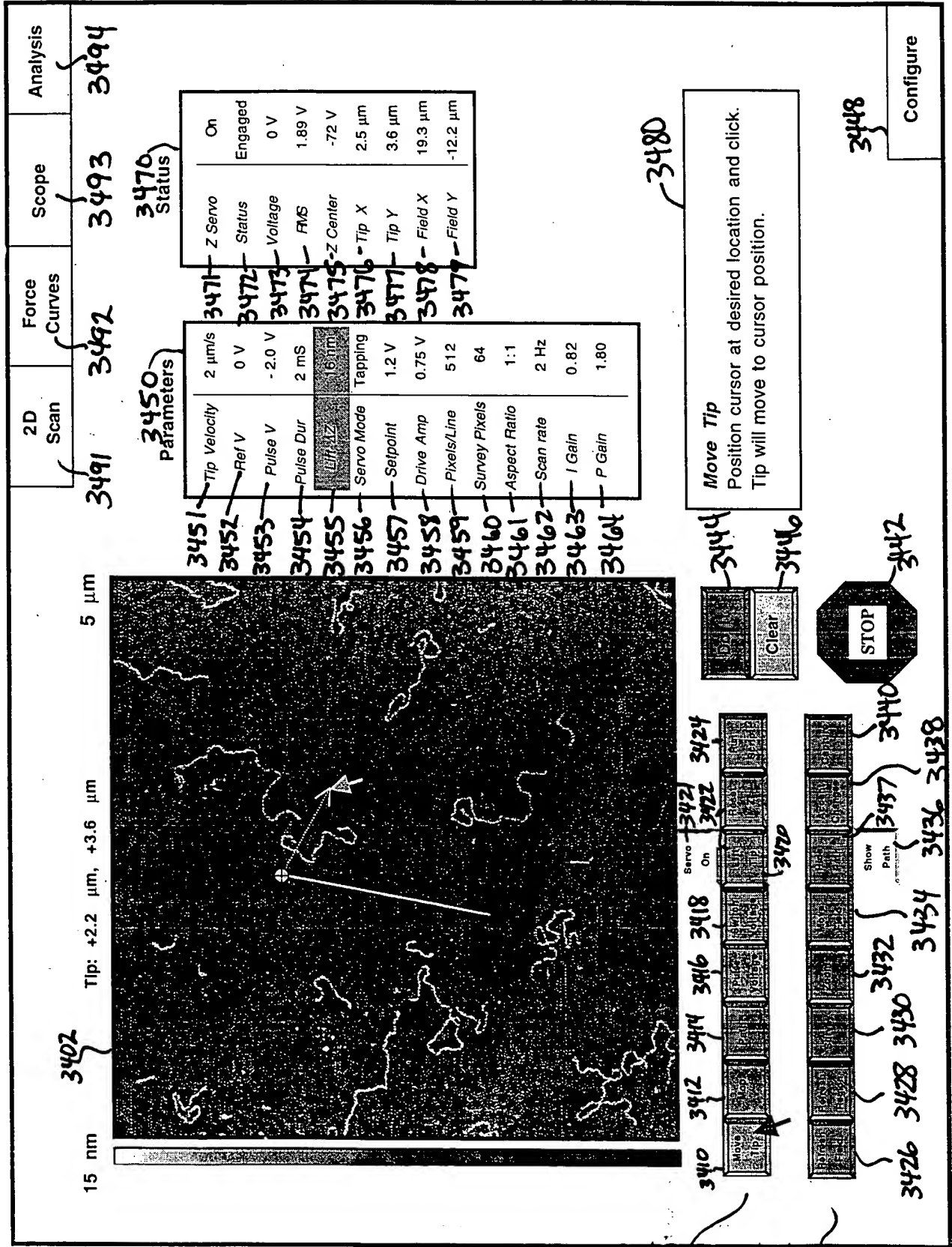


Fig. 33

Fig. 34



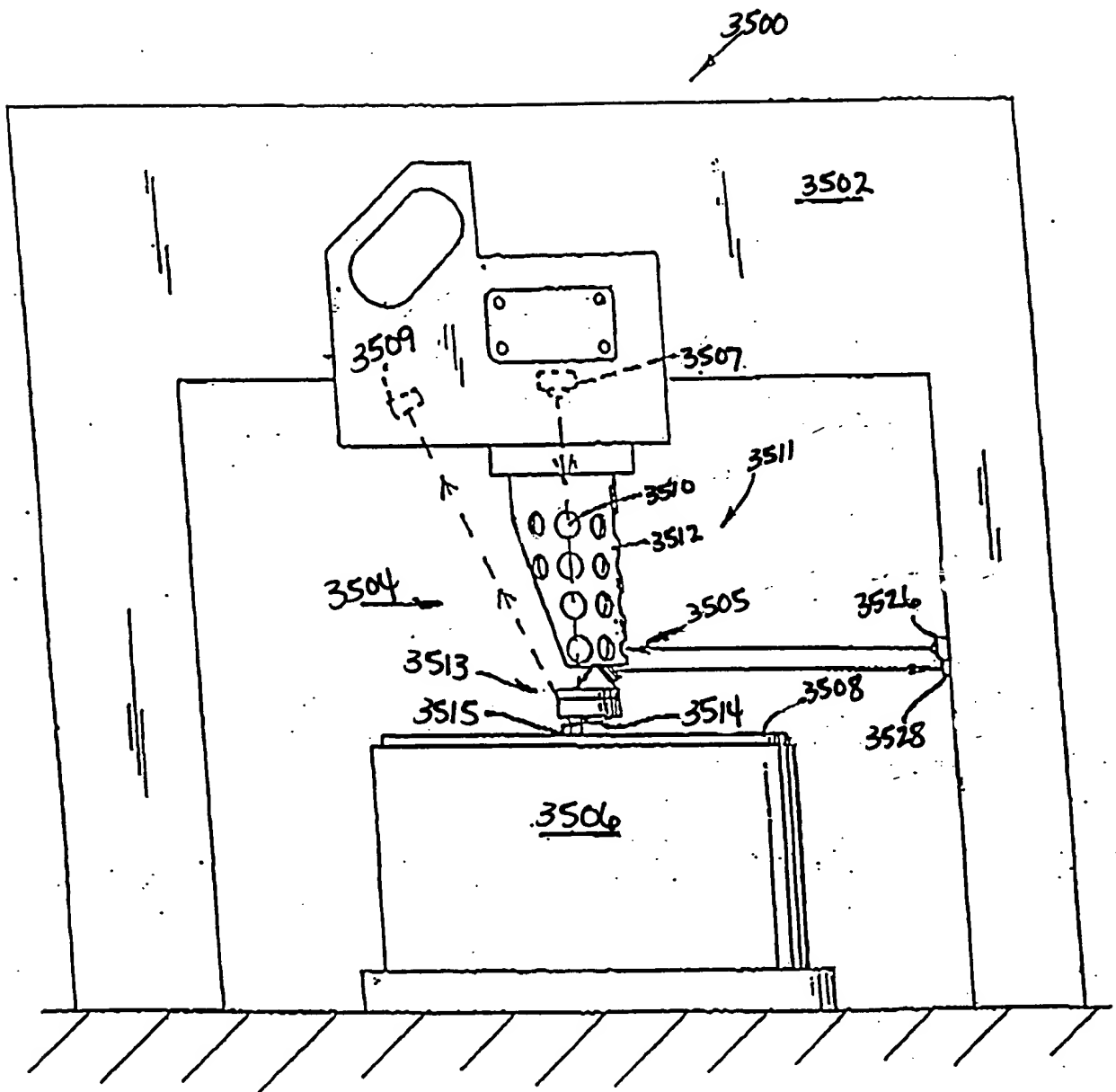
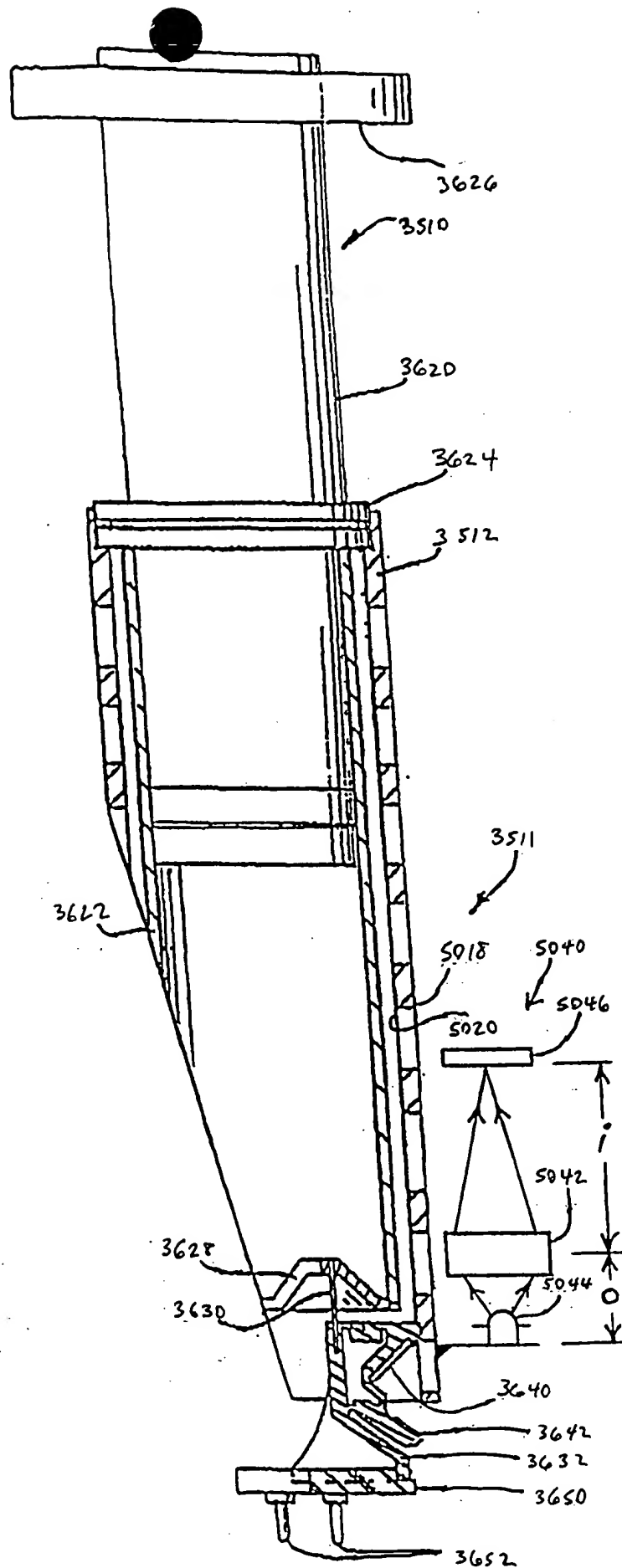
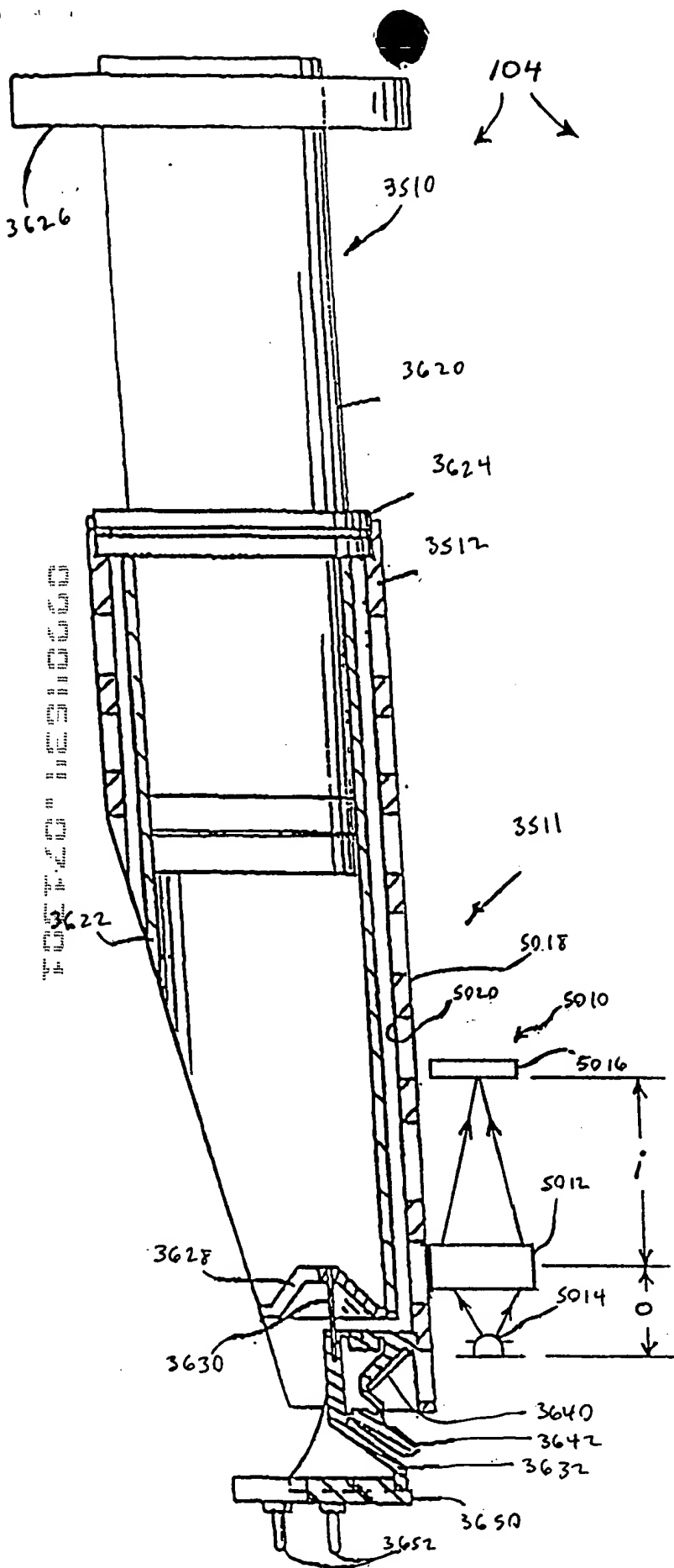


FIG. 35



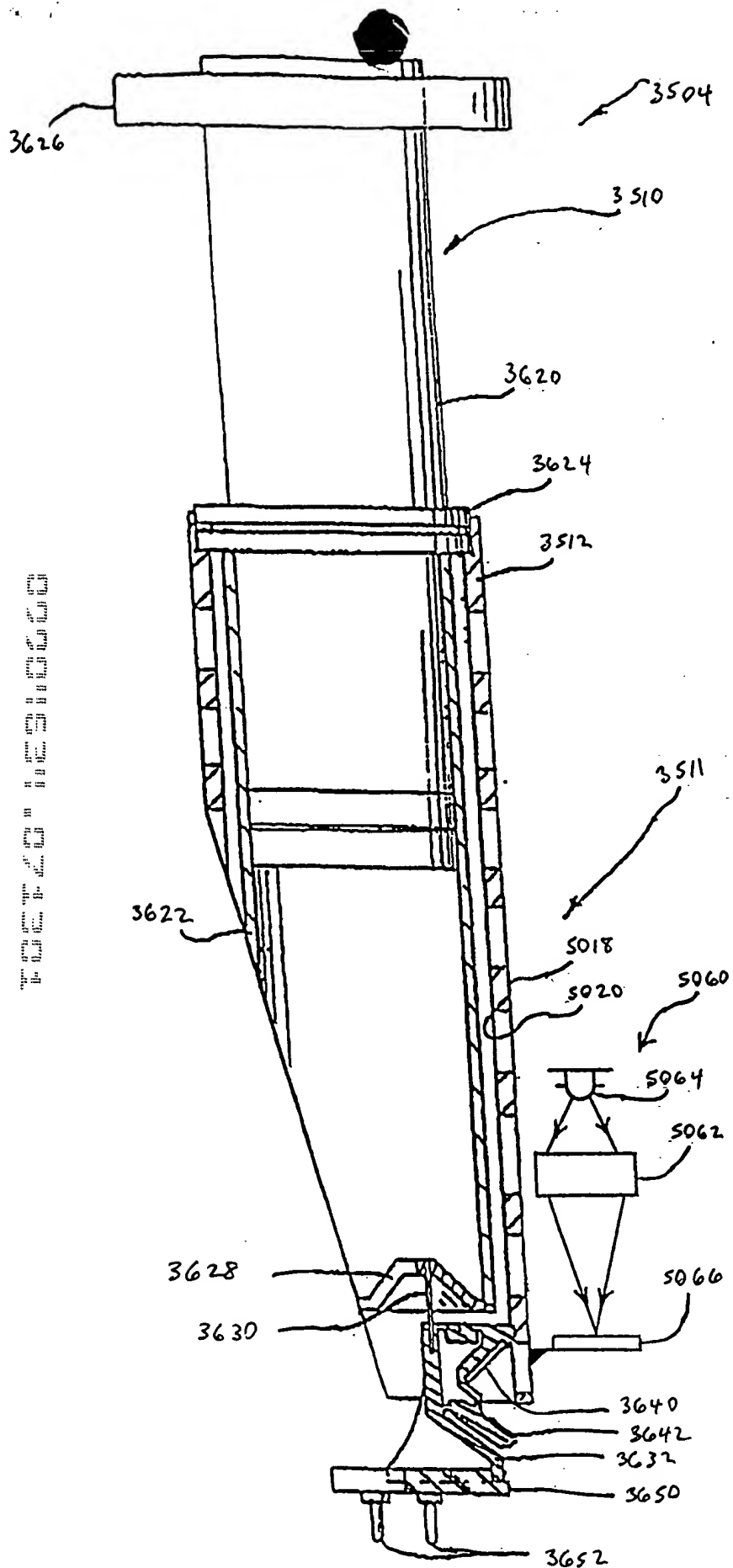


FIG. 36D

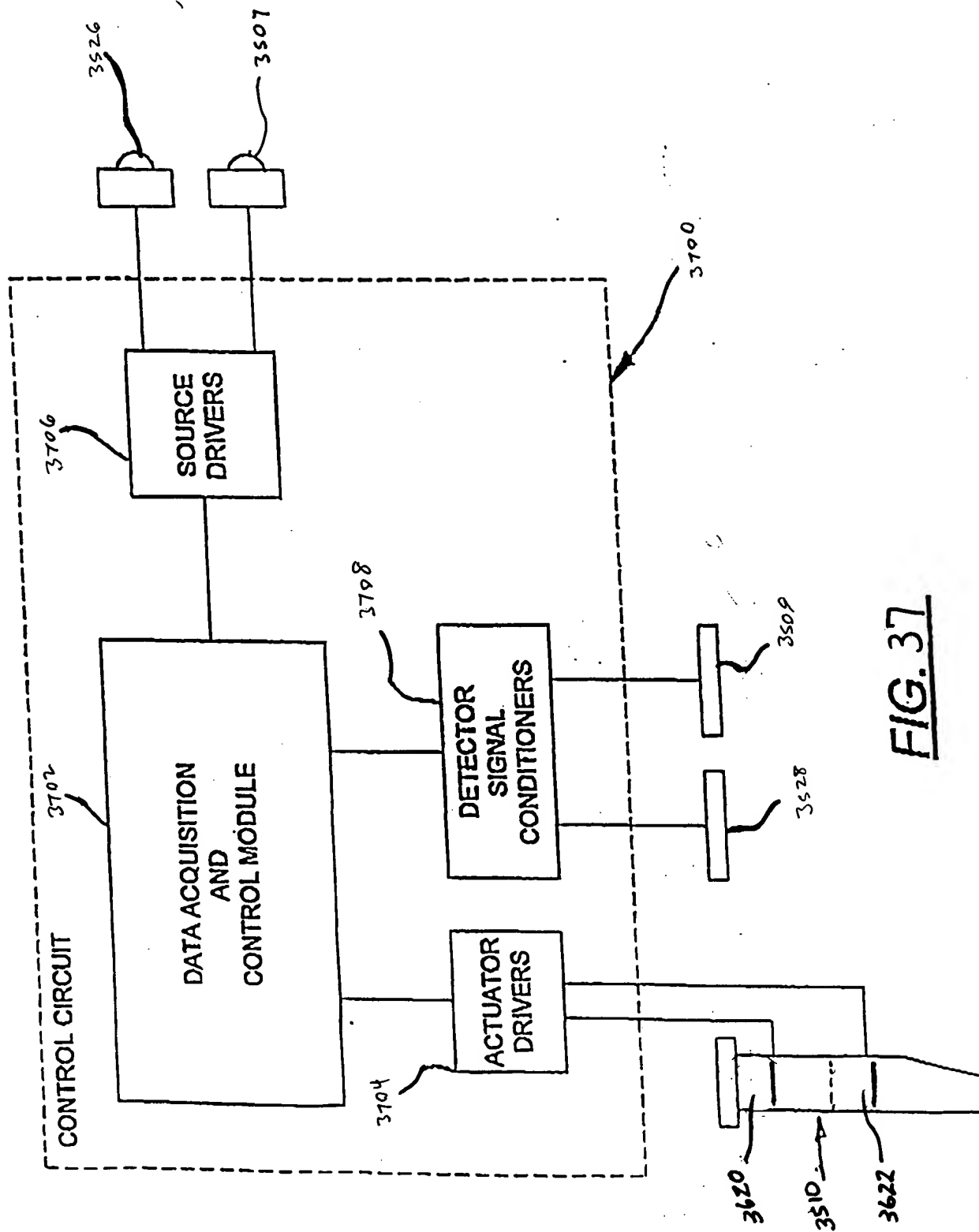
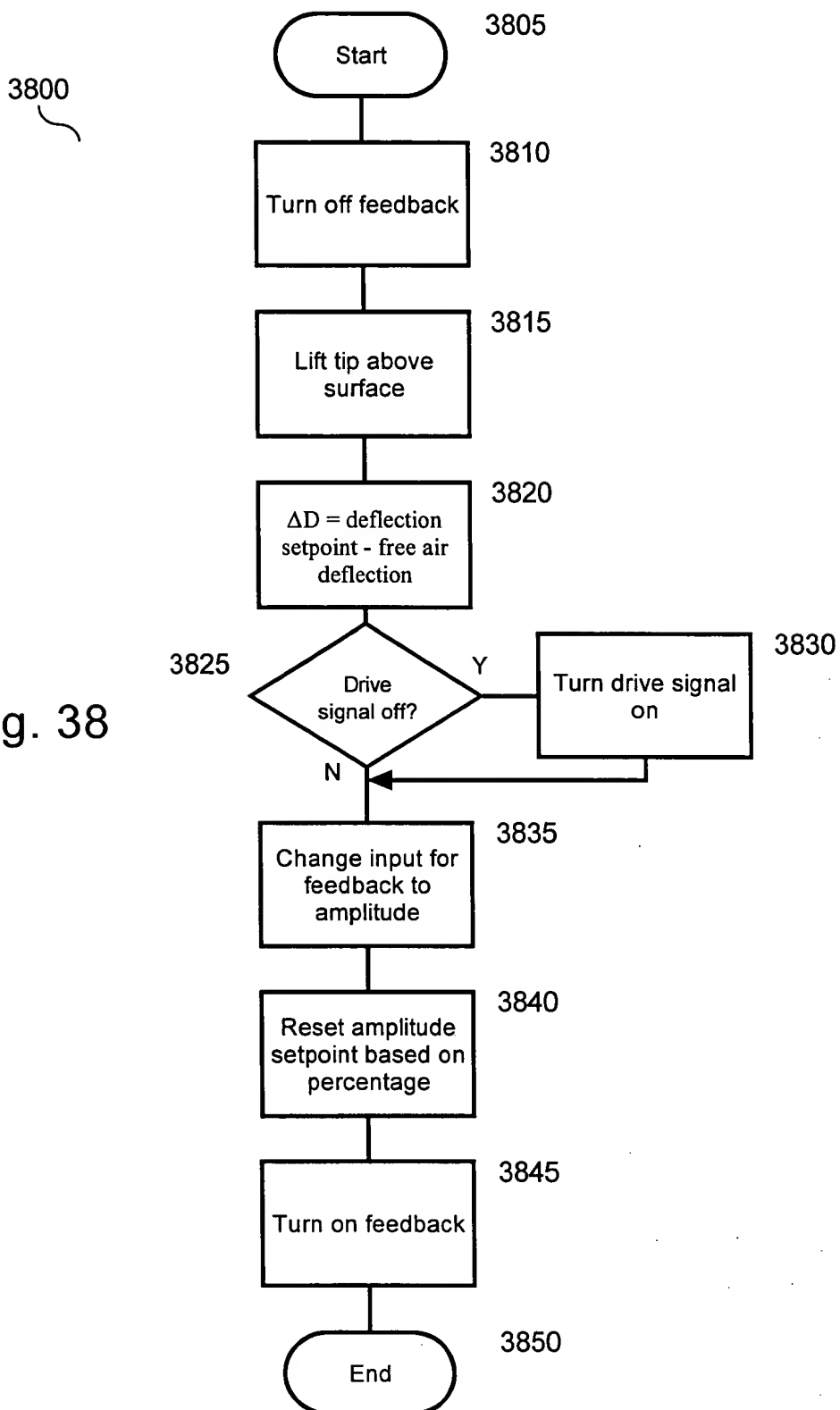
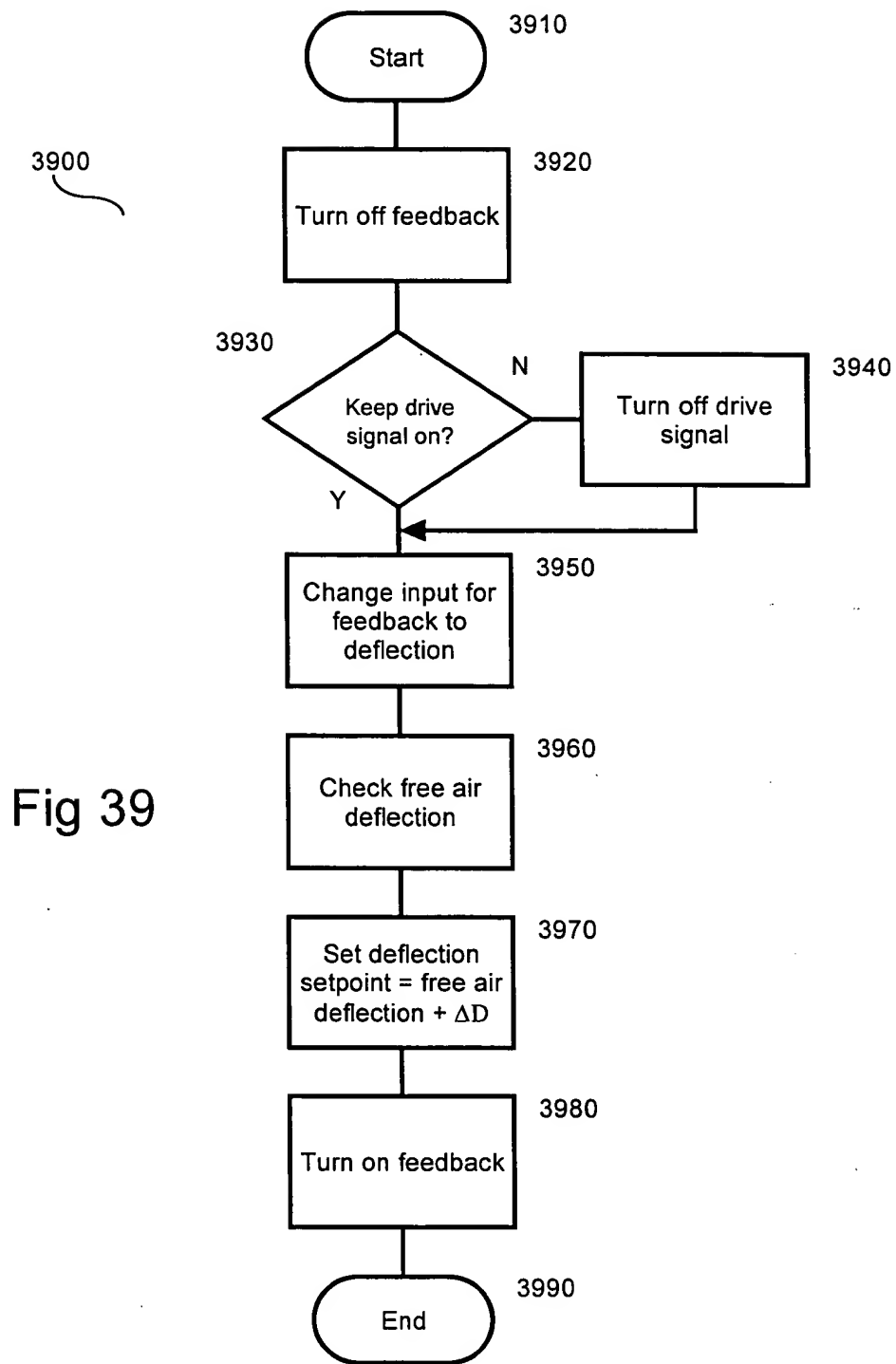


FIG. 37

Fig. 38





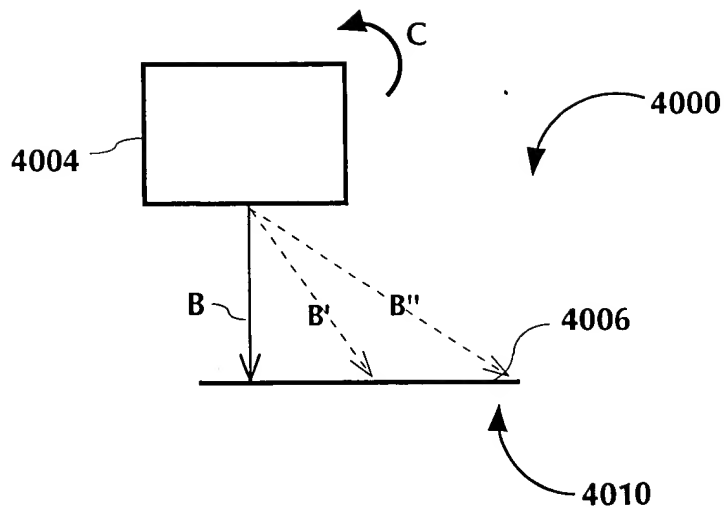


Figure 40

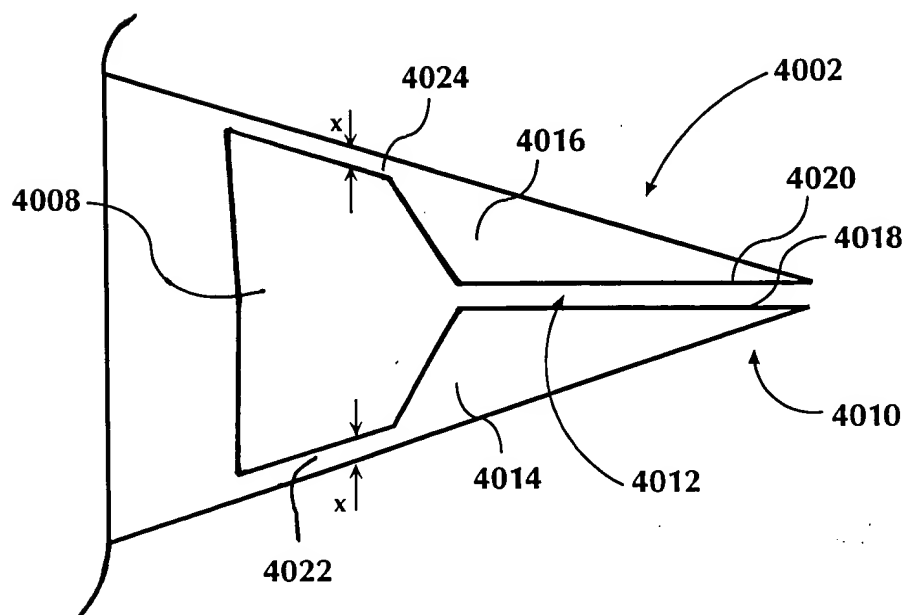


Figure 41

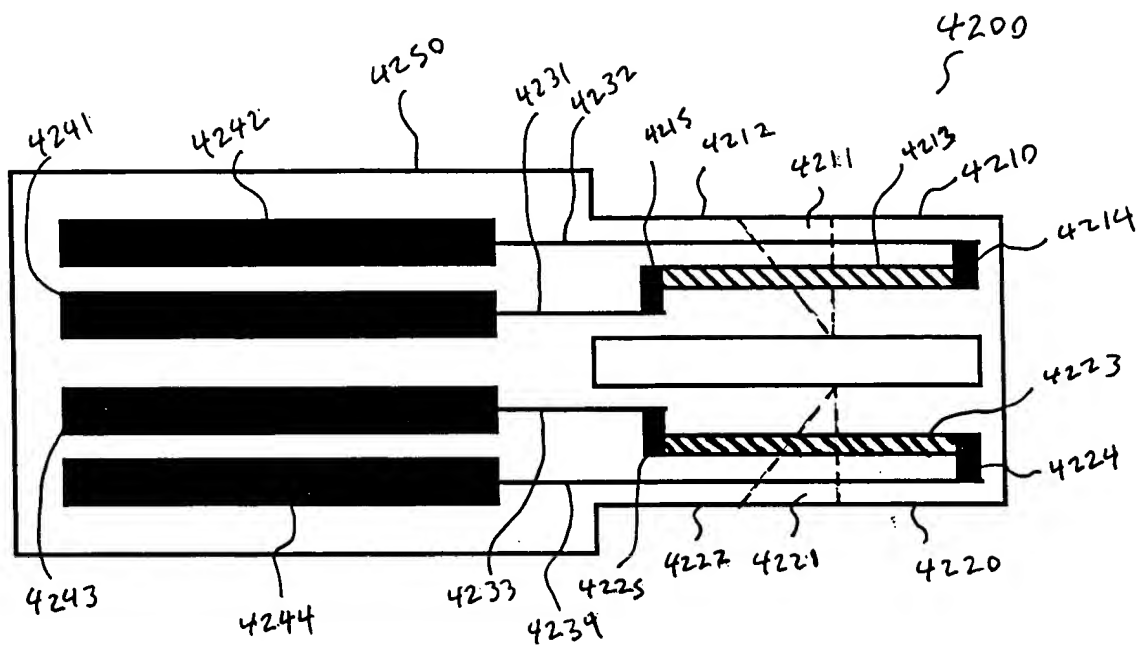


Fig. 42

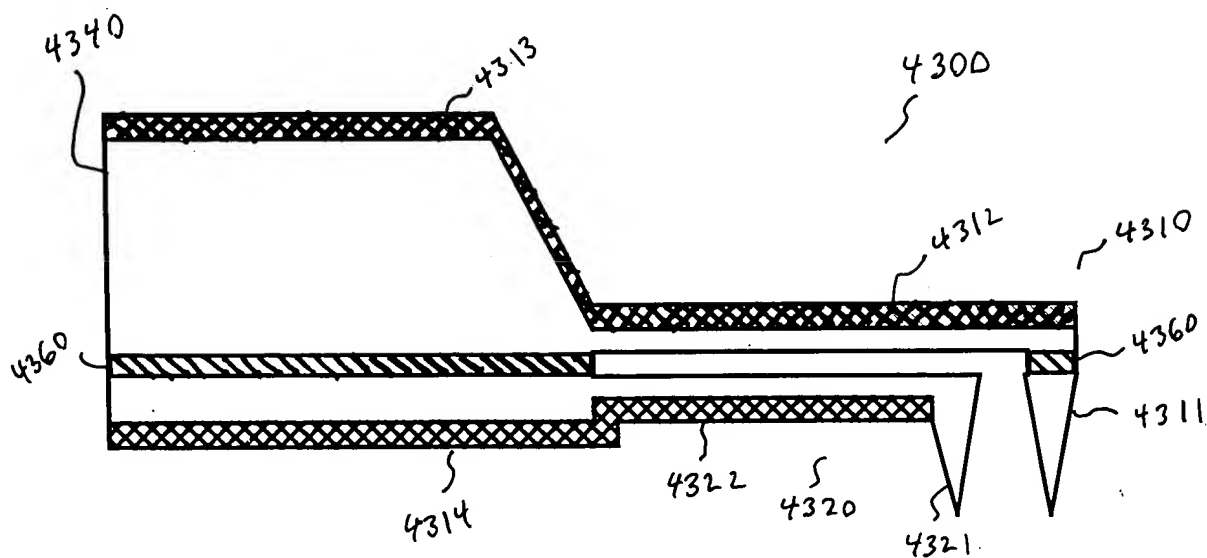
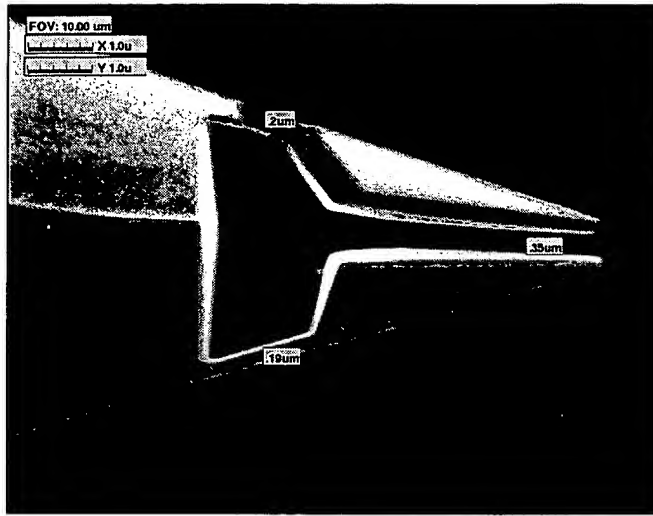


Fig. 43



~ 4400

FIG. 44